

华北一作区马铃薯生长发育及产量对 干旱胁迫响应的模拟研究 ——以武川县为例

罗新兰¹, 孙悦¹, 刘利民¹, 王立为¹, 杨丽桃², 高西宁¹

(1. 沈阳农业大学, 辽宁 沈阳 110866; 2. 内蒙古自治区气候中心, 内蒙古 呼和浩特 010051)

摘要: 为探究不同程度干旱胁迫对华北一作区马铃薯生长发育及产量的影响, 以内蒙古呼和浩特市武川县为例, 基于多年马铃薯生长发育资料和气象资料, 对 APSIM-Potato 模型进行调参与验证, 评价模型在武川地区的适用性。利用验证后的模型模拟马铃薯叶面积指数(LAI)、地上部生物量和产量对不同发育阶段干旱胁迫的响应。结果表明:(1) 各发育阶段天数的模拟值与实测值的均方根误差(RMSE)均在 3 d 内; LAI、地上部生物量和产量的模拟值与实测值的归一化均方根误差(NRMSE)分别为 12.82%、17.35%和 14.48%, 均低于 20%, 表明 APSIM-Potato 模型在武川地区具有较好的适用性。(2) 随着干旱胁迫时间和强度的增加, 马铃薯 LAI、地上部生物量和产量随之减小。模拟单一发育阶段干旱胁迫时, 马铃薯 LAI、地上部生物量和产量对分枝-开花期水分胁迫的响应最大; 模拟连续发育阶段干旱胁迫时, LAI、地上部生物量和产量对全生育期水分胁迫的响应最大。

关键词: 马铃薯; APSIM-Potato 模型; 适用性评价; 干旱模拟; 叶面积指数; 生物量; 产量

文章编号:

随着气候背景的变化、人口的增多和耕地面积的减少, 提高我国粮食产量、实现农业可持续发展成为当前科学研究的热点问题之一^[1-2]。作为世界第四大粮食作物^[3], 马铃薯具有分布广泛、适应性强、产量高等优势, 是目前非谷类作物中最具有发展前景的高产作物之一^[4]。为了保障我国粮食安全, 推动农业可持续发展, 我国倡导以加工过的马铃薯作为主食, 启动马铃薯“主粮化”战略^[5]。马铃薯是典型的温带气候作物, 对水分非常敏感, 水分是限制我国大部分地区马铃薯产量的主要非生物因素^[6-7]。华北一(季)作区由于日照充足、气候凉爽、昼夜温差大, 是我国马铃薯的主产区之一。但其大部分地区位于农牧交错地带, 水土资源匮乏, 抵抗自然灾害的能力较弱^[8-9], 当地马铃薯生产普遍存在优质品种比例低、单产水平不高等问题。通过

模型对马铃薯进行生长状况监测和产量模拟研究, 可以更好地掌握马铃薯的生长发育状况, 确定田间管理措施, 为更好地应对旱情制定防灾减灾措施提供更多可能性。

目前我国干旱对马铃薯影响的研究主要是结合田间试验与统计分析方法, 在试验中进行人工控水来探究不同水分条件对马铃薯植株形态特征、生理生化指标及产量品质的影响, 这些研究为马铃薯生产中栽培技术和最佳供水时期的选择提供了技术参数和理论依据^[10-12]。但田间水分控制试验往往难以精准控制水分, 且取样代表性容易受到人为因素的影响, 其研究结果难以对马铃薯生长发育过程受水分胁迫的情形进行动态模拟, 也很难对马铃薯的气候生产潜力进行较好的模拟与分析。

相比于田间试验和统计分析方法, 作物生长模

收稿日期: 2021-08-05; 修订日期: 2021-10-26

基金项目: 国家重点研发计划课题(2019YFD1002204)资助

作者简介: 罗新兰(1968-), 女, 博士, 副教授, 主要从事应用气象学、作物模拟系统等方面的研究。E-mail: luoxinlan@syau.edu.cn

通讯作者: 刘利民(1968-), 男, 博士, 教授, 主要从事应用气象学与应用气候学等方面的研究。E-mail: liulimin1968@syau.edu.cn

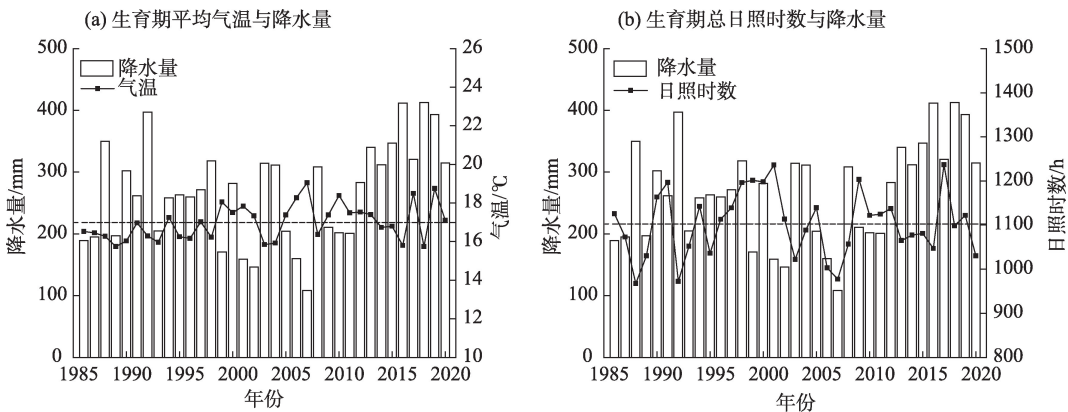


图1 1986—2020年武川县全生育期平均气温、总日照时数和降水量

Fig. 1 Average air temperature, total sunshine hours and precipitation during the whole growth period in Wuchuan County from 1986 to 2020

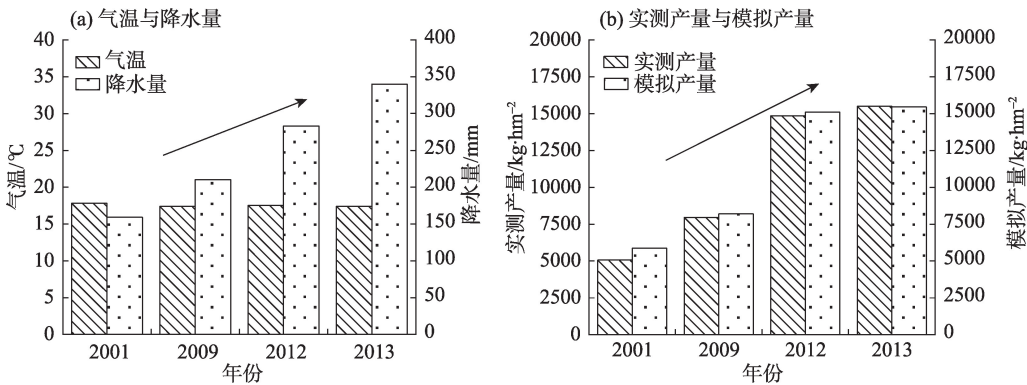


图2 马铃薯生育期平均气温、降水量、实测产量和模拟产量

Fig. 2 Average air temperature, precipitation, measured yield and simulated yield at potato growth period

表4 武川县马铃薯各发育阶段干旱情景设计

Tab. 4 Design of drought scenarios for each growth period of potato in Wuchuan County

干旱情景	降水量				
	全生育期	播种-出苗期	出苗-分枝期	分枝-开花期	开花-可收期
CK	340	65.95	60.28	74.02	167.44
T ₁	280	52.76	48.23	59.21	133.95
T ₂	220	42.21	38.58	47.37	107.16
T ₃	160	33.77	30.86	37.90	85.73
T ₄	100	27.01	24.69	30.32	68.58

充,确保马铃薯生长发育过程中不受氮肥的胁迫^[31]。

1.5.2 马铃薯减产率 根据干旱情景设置,在模型中给定干旱条件,模拟得到该情景下马铃薯的干重产量,在与实测鲜重产量进行比较时折算为块茎含水量为80%的鲜重,计算不同干旱情景下的减产率,即:

$$D_t = \frac{Y - Y_t}{Y} \times 100\% \quad (7)$$

式中: D_t 为第 t 年的减产率(%); Y 为第 t 年正常气象条件驱动下的模拟产量(kg·hm⁻²); Y_t 为第 t 年发生

干旱情况下的模拟产量(kg·hm⁻²)。

2 结果与分析

2.1 APSIM-Potato模型的适用性分析

2.1.1 APSIM-Potato模型模拟马铃薯生育期的适用性分析 根据研究区域马铃薯各发育阶段的实际观测数据,验证 APSIM-Potato 模型模拟武川县马铃薯生育期的适宜性。结果显示,在该品种参数条

件下,模型对武川县马铃薯生育期的模拟效果较好。出苗期、开花期、分枝期和可收期各发育阶段模拟与实测天数的RMSE均在3 d以内,NRMSE均在5.00%以内, R^2 分别为0.74、0.85、0.89和0.88, D 指数分别为0.83、0.92、0.94和0.93(图3)。

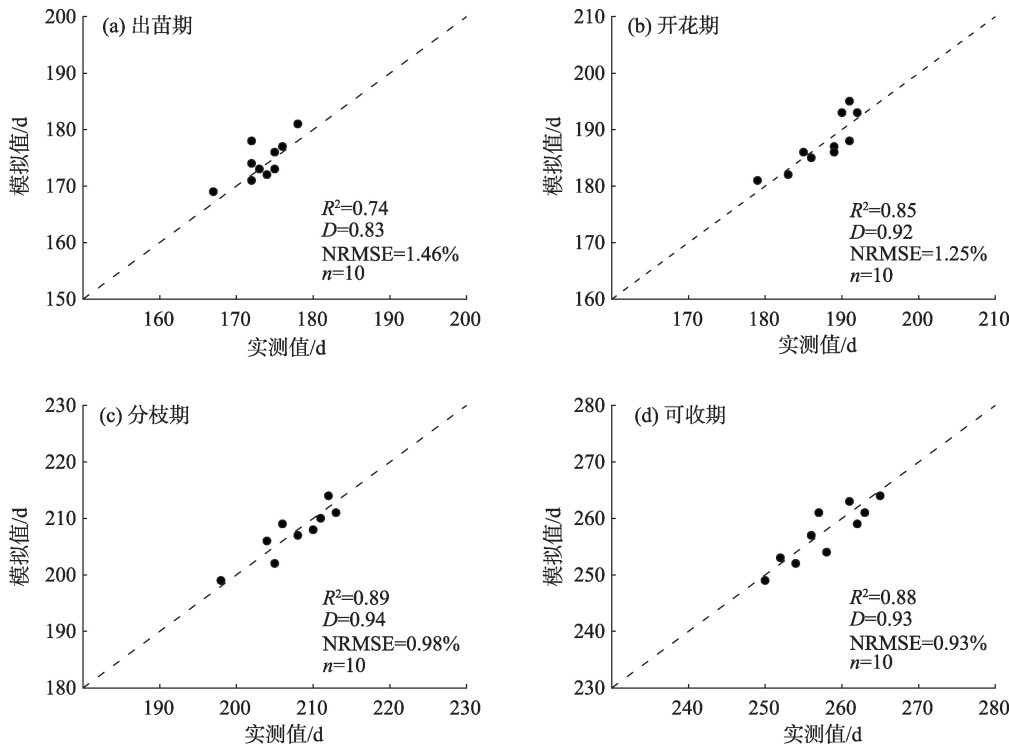
2.1.2 APSIM-Potato模型模拟马铃薯LAI、地上部生物量和产量模拟效果的适用性分析 马铃薯LAI、地上部生物量和鲜薯产量的模拟值与实测值的比较结果如图4所示。马铃薯LAI的模拟值与实测值之间的NRMSE为12.82%;对于地上部生物量而言,模拟值略高于实测值,NRMSE为17.35%, R^2 和 D 指数分别为0.91和0.89,除个别年份外可以较

好模拟马铃薯的地上部生物量;模拟与实测产量的 R^2 和 D 指数分别为0.92和0.93,NRMSE为14.48%,表明模型可以较好地模拟武川县马铃薯的产量。

2.2 干旱模拟结果分析

2.2.1 马铃薯LAI对不同发育阶段水分胁迫的响应 分别对马铃薯进行单一发育阶段(图5a~d)和连续发育阶段(图5e~h)不同降水梯度的水分控制模拟,分别用实验组(T_1 、 T_2 、 T_3 和 T_4)马铃薯4个单一发育阶段的降水量和6种组合阶段的降水量来替换对照组(CK)相应发育阶段的降水量,以此来分析不同干旱情景对马铃薯LAI的影响。

在单一发育阶段不同降水梯度的水分控制模



注:图中坐标轴为日序数。

图3 武川县马铃薯各发育阶段模拟值与实测值比较

Fig. 3 Comparison of simulated and measured values of potato at each growth period of potato in Wuchuan County

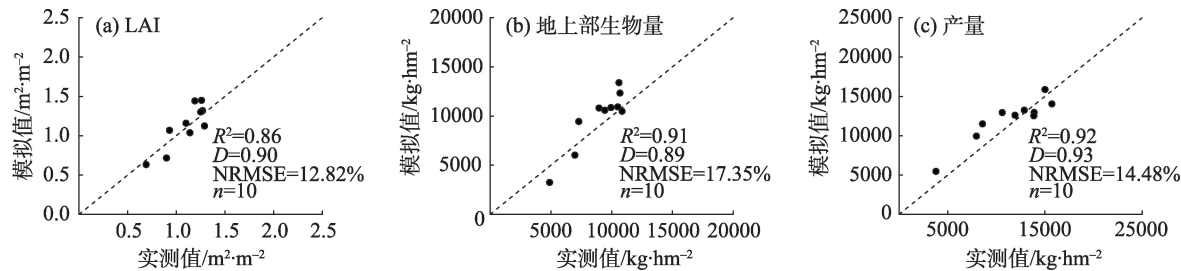


图4 武川县马铃薯叶面积指数(LAI)、地上部生物量和产量的模拟值与实测值比较

Fig. 4 Comparison of simulated and measured values of potato LAI, aboveground biomass, yield in Wuchuan County

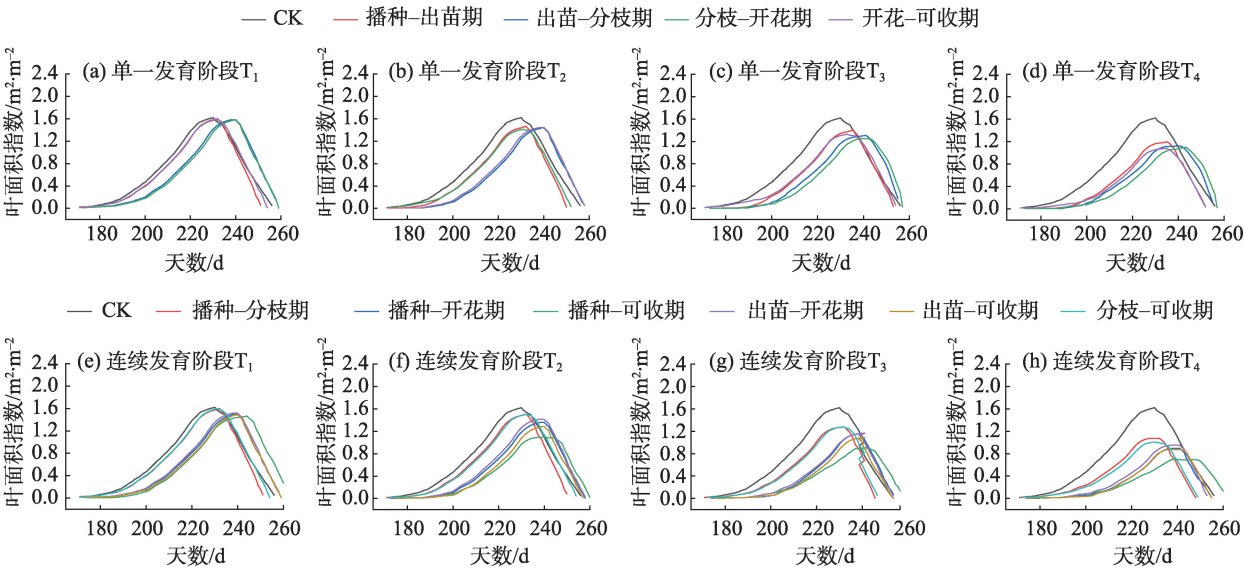


图5 各发育阶段不同干旱情景下马铃薯叶面积指数变化曲线
Fig. 5 Variation curves of potato LAI under different drought conditions at each growth period

拟中,随着干旱胁迫强度的增加马铃薯 LAI 逐渐减小。在相同干旱胁迫强度下,马铃薯 LAI 对单一发育阶段水分胁迫的响应从大到小的顺序依次是:分枝-开花期、出苗-分枝期、开花-可收期、播种-出苗期。其中,马铃薯 LAI 对分枝-开花期水分胁迫的响应最大,对应的 LAI 较 CK 减少 3%~33%。马铃薯 LAI 对播种-出苗期水分胁迫的响应最小,对应的 LAI 较 CK 减少 1%~26%。

在连续发育阶段不同降水梯度的水分控制模拟中,随着干旱胁迫强度和干旱持续时间的增加马铃薯 LAI 逐渐减小。在相同的干旱胁迫强度下,马铃薯 LAI 对连续发育阶段水分胁迫的响应从大到小的顺序依次是:播种-可收期、出苗-可收期、播种-开花期、出苗-开花期、分枝-可收期、播种-分枝期。其中,马铃薯 LAI 对全生育期水分胁迫的响应最大,对应的 LAI 较 CK 降低 10%~57%,且 LAI 达到最大值所需的时间也会推迟 10~17 d;马铃薯 LAI 对播种-分枝期水分胁迫的响应最小,对应的 LAI 较 CK 降低 1%~38%。在播种-分枝期和分枝-可收期水分亏缺时,对应的 LAI 较 CK 分别降低 1%~38%和 8%~46%,马铃薯 LAI 对发育后期水分胁迫的响应比前期大。

2.2.2 马铃薯地上部生物量对不同发育阶段水分胁迫的响应 分别对马铃薯进行单一发育阶段(图 6a~d)和连续发育阶段(图 6e~h)不同降水梯度的水分控制模拟,分别用实验组(T₁、T₂、T₃和 T₄)马铃薯 4

个单一发育阶段的降水量和 6 种组合阶段的降水量来替换对照组(CK)相应发育阶段的降水量,以此来分析不同干旱情景对马铃薯地上部生物量的影响。

在单一发育阶段不同降水梯度的水分控制模拟中,随着干旱胁迫强度的增加马铃薯地上部生物量逐渐减小。在相同干旱胁迫强度下,马铃薯地上部生物量对单一发育阶段水分胁迫的响应从大到小的顺序依次是:分枝-开花期、出苗-分枝期、开花-可收期、播种-出苗期。其中,马铃薯地上部生物量对分枝-开花期水分胁迫的响应最大,其地上部生物量较 CK 减少 17%~35%;马铃薯地上部生物量对播种-出苗期水分胁迫的响应最小,对应的值较 CK 减少 5%~11%。

在连续发育阶段不同降水梯度的水分控制模拟中,马铃薯地上部生物量变化情况与 LAI 变化情况相似,随着干旱胁迫强度的增加马铃薯地上部生物量逐渐减小。在相同的干旱胁迫强度下,马铃薯地上部生物量对全生育期水分胁迫的响应最大,对应的地上部生物量较 CK 降低 29%~67%,且地上部生物量达到最大值所需的时间也会推迟 13~18 d;马铃薯地上部生物量对播种-分枝期水分胁迫的响应最小,对应的值较 CK 降低 9%~37%。

2.2.3 马铃薯鲜薯产量对不同发育阶段水分胁迫的响应 分别对马铃薯不同发育阶段、不同干旱情景进行模型模拟并计算其减产率(图 7)

在进行单一发育阶段不同降水梯度的水分控

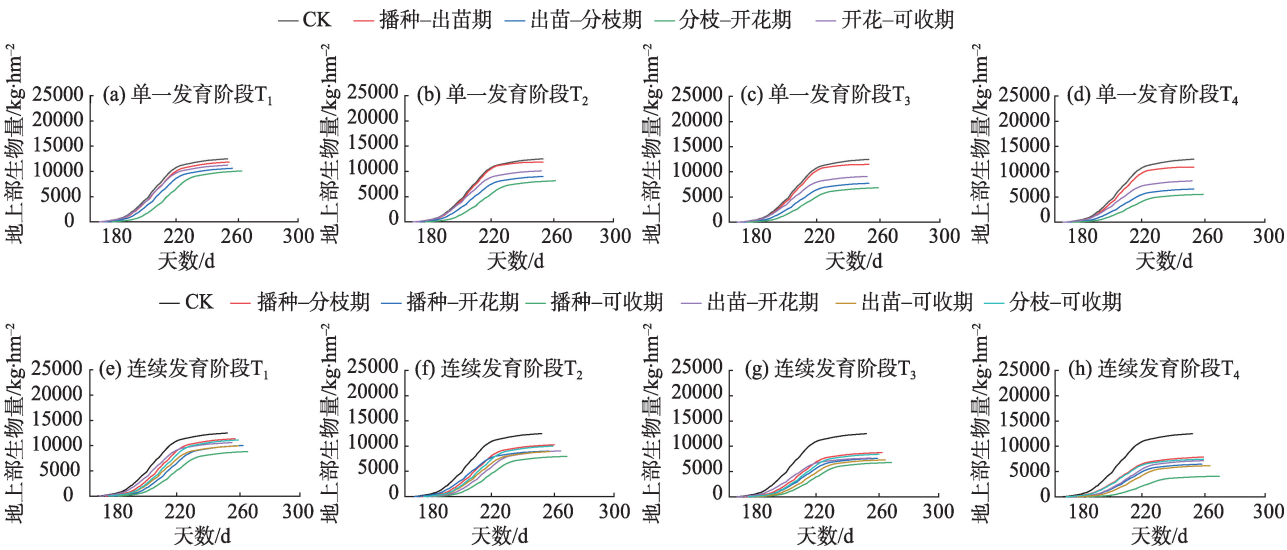


图6 各发育阶段不同干旱情景下马铃薯地上部生物量变化曲线

Fig. 6 Variation curves of potato aboveground biomass under different drought conditions at each growth period

制模拟时,随着干旱胁迫强度的增加,马铃薯的产量减少(图7a)。在相同干旱胁迫强度下,马铃薯产量对单一发育阶段水分胁迫的响应从大到小的顺序依次是:分枝-开花期、出苗-分枝期、开花-可收期、播种-出苗期。在播种-出苗期适当地减少水分,其产量会增加1%~9%。出苗-分枝期、分枝-开花期随降水量的减少,马铃薯分别减产1%~18%和2%~25%,即马铃薯产量对分枝-开花期水分胁迫的响应大于对出苗-分枝期水分胁迫的响应。开花-可收期水分胁迫会导致马铃薯减产1%~11%。

对马铃薯进行连续发育阶段不同降水梯度的

水分控制模拟,结果表明马铃薯减产程度随干旱强度和干旱持续时间的增加而增加(图7b)。用T₁中连续发育阶段降水量替换CK中相应时段的降水量时,马铃薯减产率均在10%以下;用T₂、T₃中连续发育阶段降水量替换CK中相应时段的降水量时,随水分胁迫持续时间的增加,马铃薯减产3%~50%,其中全生育期进行高强度水分胁迫时,减产率可达到55%~75%,且发育中后期的水分胁迫对最终产量影响较大,减产率可达27%~68%;用T₄中连续发育阶段降水量替换CK中相应时段的降水量时,水分条件难以维持马铃薯正常的生长发育,随着水分胁迫

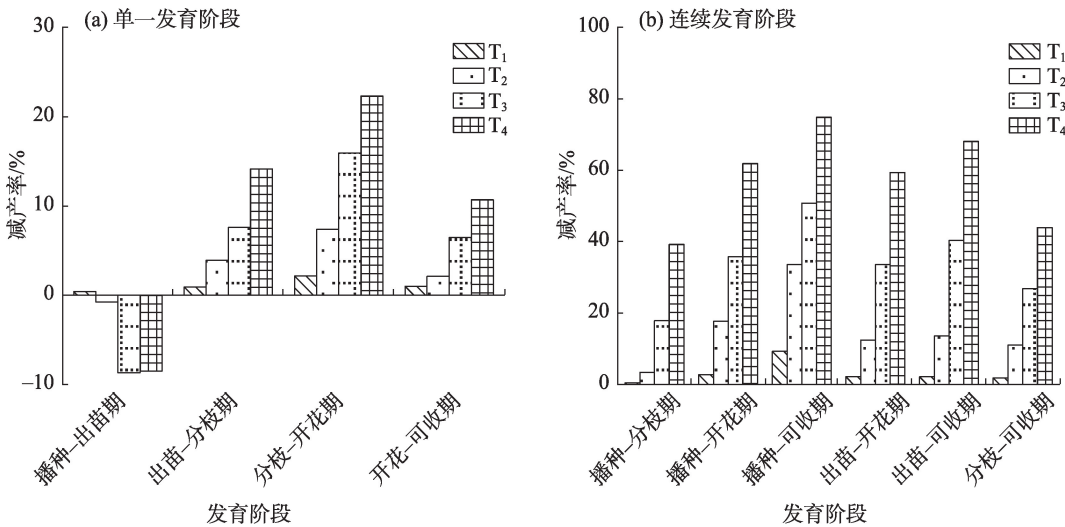


图7 各发育阶段不同干旱情景下马铃薯减产率

Fig. 7 Yield reduction rate of potato under different drought conditions at each growth periods

持续时间的增加,可导致严重减产甚至绝收。

3 讨论

干旱胁迫会抑制马铃薯的生理生化过程,从而导致产量和品质的损失。这种损失的程度与作物品种、干旱胁迫作用阶段、持续时间和影响强度有直接关系^[32-33]。LAI可以体现马铃薯的光合特性和生长发育状况,影响马铃薯多种生理生化过程^[34-35]。王希群等^[36]研究认为,马铃薯 LAI 与其抗旱性呈显著的正相关,这与本研究结果相似,LAI随干旱胁迫强度及时间的增加而降低;马铃薯苗期受到短暂的干旱胁迫时,对其 LAI 影响不大,马铃薯 LAI 对块茎形成和膨大期干旱胁迫的响应较大。究其原因,认为是干旱胁迫下,水分不足导致植株叶面气孔关闭,蒸腾作用和净光合速率都降低,马铃薯生长发育受阻;且由于干旱胁迫使细胞生长受阻,叶片扩大受限,叶片衰老或脱落的速度增加,整体光合受到严重影响,进而影响其 LAI。马铃薯的地上部分(茎、叶)与地下部分(根、块茎)密切相关,二者不仅存在相互依赖关系,还存在相互竞争关系。在发生干旱胁迫时,二者受影响的表现不同。短时间干旱胁迫时,地下部未发生水分亏缺可以正常生长,而地上部由于茎叶的伸长生长以及植株的蒸发、蒸腾作用导致发生水分亏缺,地上部生长受限,地上部生物量降低。另外本研究中地上部生物量的增长情况符合 Logistic 方程的增长模式,呈现出前期生长较慢,达到某一时期后增长速度加快,到后期增长速度又开始减缓的特点,这与秦永林^[37]对不同灌溉模式下的马铃薯生物量的研究结论相一致。

干旱胁迫作用于块茎形成期表现为马铃薯的匍匐茎减少,从而降低其块茎数量和最终产量^[38];块茎膨大期受到干旱胁迫会使马铃薯植株光合作用受到抑制,从而降低其块茎数量和产量^[39]。这也与本研究中马铃薯最终产量对分枝-开花期水分胁迫的响应最大这一结论相符。在另一项研究中,有学者认为,适应轻度干旱胁迫的马铃薯植株在后续的干旱胁迫中表现出较少的产量损失^[40]。本研究发现,苗期适当干旱胁迫会使马铃薯最终产量增加。模型中干物质积累速率由日总太阳辐射、水分胁迫因子、温度胁迫因子、CO₂浓度胁迫因子等共同控制。根据设定的干旱情景,在一定的范围内减少

水分时,模型中土壤湿度不会根据该时期降水量的改变发生明显变化;但当经历长时间水分亏缺,土壤非常干旱,土壤湿度下降明显时,植物潜在蒸腾也减少,水分胁迫因子减小,模型干物质积累速率也会随之下降,导致最终产量减少。另外,生长前期适当减少水分时,干物质向不同器官的运移和分配也会发生相应的变化,在一定的范围内减少水分时,马铃薯根系的分配比例将会增加,会提高马铃薯的最终产量^[41]。因此,在农业生产中常使用“蹲苗”的方法,来提高马铃薯抗旱能力,从而提高其最终产量。另外,在本研究中除了苗期外马铃薯产量随着干旱胁迫持续时间和强度的增加而减少,这是由于干旱胁迫使植株整体生长发育受到抑制,细胞生长速率减慢,光合作用受到抑制,株高和地上部生物量等都相应减少,最终导致马铃薯产量下降。该规律不仅适用于马铃薯群落,研究发现,玉米在受到干旱胁迫时,其穗长、株高和百粒重都表现出不同程度的下降趋势^[42];冬小麦短时间轻度缺水不影响其光合作用及最终产量,但随着胁迫时间与强度的增加,水分不足会使光合作用降低,籽粒无法充分灌浆,最终导致减产^[43]。因此,在马铃薯农业生产过程中遭遇长期干旱,需进行适时灌溉以保证马铃薯的最终产量。

当前我国马铃薯农业生产过程中频繁遭遇干旱事件,这些干旱事件限制了我国马铃薯产业的发展^[44]。因此,在当前生长条件下提高马铃薯生产力对于满足我国国民的营养需求就变得格外重要。明确水分胁迫对马铃薯的影响机制,确定马铃薯对干旱胁迫的响应情况对于选择能够更好地适应干旱的马铃薯品种并制定田间管理措施至关重要。这些理论基础的阐明有助于在气候变化的大背景下保持甚至提高马铃薯产量。研究表明,干旱胁迫持续时间、胁迫强度、胁迫作用阶段、作物品种和不同区域气候都会影响马铃薯的生长发育及最终产量。但 APSIM-Potato 模型中需要进行调整与确定的参数很多,仅凭作物生育期、地上部生物量、产量等资料无法满足所有参数调整的需求;其次,本研究设计的干旱情景模拟方案相对简单,仅针对现有基准年对降水量按生育期进行等比例分配,未考虑某一生育期水分极端的状况;同时,设定的模拟环境与马铃薯实际生长环境状况也存在一定差异,未考虑马铃薯植株病虫害和极端天气等的影响。所

94.

- [31] 陈瑞英, 蒙美莲, 梁海强, 等. 不同水氮条件下马铃薯产量和氮肥利用特性的研究[J]. 中国农学通报, 2012, 28(3): 196–201. [Chen Ruiying, Meng Meilian, Liang Haiqiang, et al. Effects of different treatments of irrigation and fertilization on the yield and nitrogen utilization characteristic of potato[J]. Chinese Agricultural Science Bulletin, 2012, 28(3): 196–201.]
- [32] Aliche E B, Oortwijn M, Theeuwes T P J M, et al. Drought response in field grown potatoes and the interactions between canopy growth and yield[J]. Agricultural Water Management, 2018, 206: 20–30.
- [33] Plich J, Boguszewska-Mańkowska D, Marczewski W. Relations between photosynthetic parameters and drought-induced tuber yield decrease in Katahdin-derived potato cultivars[J]. Potato Research, 2020, 63(4): 463–477.
- [34] 龚学臣, 抗艳红, 赵海超, 等. 干旱胁迫下磷营养对马铃薯抗旱性的影响[J]. 东北农业大学学报, 2013, 44(4): 48–52. [Gong Xuechen, Kang Yanhong, Zhao Haichao, et al. Effect of phosphorus nutrition on drought-resistance of potato under drought stress [J]. Journal of Northeast Agricultural University, 2013, 44(4): 48–52.]
- [35] 尹智宇, 郭华春, 封永生, 等. 干旱胁迫下马铃薯生理研究进展[J]. 中国马铃薯, 2017, 31(4): 234–239. [Yin Zhiyu, Guo Huachun, Feng Yongsheng, et al. Research progress of potato physiology under drought tolerance[J]. Chinese Potato Journal, 2017, 31(4): 234–239.]
- [36] 王希群, 马履一, 贾忠奎, 等. 叶面积指数的研究和应用进展[J]. 生态学杂志, 2005, 24(5): 537–541. [Wang Xiqun, Ma Lüyi, Jia Zhongkui, et al. Research and application advances in leaf area index (LAI)[J]. Chinese Journal of Ecology, 2005, 24(5): 537–541.]
- [37] 秦永林. 不同灌溉模式下马铃薯的水肥效率及膜下滴灌的氮肥推荐[D]. 呼和浩特: 内蒙古农业大学, 2013. [Qin Yonglin. Water and fertilizer use efficiencies of potato under different irrigation patterns and nitrogen recommendation of under-mulch-drip irrigated potato[D]. Hohhot: Inner Mongolia Agricultural University, 2013.]
- [38] Eiasu B K, Soundy P, Hammes P S. Response of potato (*Solanum tuberosum*) tuber yield components to gel-polymer soil amendments and irrigation regimes[J]. New Zealand Journal of Crop and Horticultural Science, 2007, 35(1): 25–31.
- [39] Aliche E B, Theeuwes T P J M, Oortwijn M, et al. Carbon partitioning mechanisms in potato under drought stress[J]. Plant Physiology and Biochemistry, 2020, 146: 211–219.
- [40] Banik P, Zeng W, Tai H, et al. Effects of drought acclimation on drought stress resistance in potato (*Solanum tuberosum* L.) genotypes[J]. Environmental and Experimental Botany, 2016, 126: 76–89.
- [41] 抗艳红, 龚学臣, 赵海超, 等. 不同生育期干旱胁迫对马铃薯产量及品质的影响[J]. 安徽农业科学, 2010, 38(30): 16820–16822. [Kang Yanhong, Gong Xuechen, Zhao Haichao, et al. Effect of the drought stress in different growth stages on potato yield and quality [J]. Journal of Anhui Agricultural Sciences, 2010, 38(30): 16820–16822.]
- [42] 窦超银, 于景春, 丁秀琴. 干旱胁迫对辽西半干旱区玉米生长和产量的影响[J]. 灌溉排水学报, 2013, 32(4): 84–87. [Dou Chaoyin, Yu Jingchun, Ding Xiuqin. Effects of drought stress on the growth and yield of maize in semi-arid area of west Liaoning[J]. Journal of Irrigation and Drainage, 2013, 32(4): 84–87.]
- [43] 张秋英, 李发东, 高克吕, 等. 水分胁迫对冬小麦光合特性及产量的影响[J]. 西北植物学报, 2015, 25(6): 1184–1190. [Zhang Qiuying, Li Fadong, Gao Kelü, et al. Effect of water stress on the photosynthetic capabilities and yield of winter wheat[J]. Acta Botanica Boreali-Occidentalia Sinica, 2015, 25(6): 1184–1190.]
- [44] Obidiegwu J E, Bryan G J, Jones H G, et al. Coping with drought: Stress and adaptive responses in potato and perspectives for improvement[J]. Frontiers in Plant Science, 2015, 6: 542, doi: 10.3389/fpls.2015.00542.

Simulation of response of potato growth and yield to drought stress in the single-cropping region in northern China: A case of Wuchuan County

LUO Xinlan¹, SUN Yue¹, LIU Limin¹, WANG Liwei¹, YANG Litao², GAO Xining¹

(1. Shenyang Agricultural University, Shenyang 110866, Liaoning, China;

2. Inner Mongolia Climate Center, Hohhot 010051, Inner Mongolia, China)

Abstract: The single-cropping region in northern China is the major potato-producing areas and a typical semiarid dryland agricultural location in China. Recently, due to the intensification of climate change, annual precipitation in this area has decreased, and the frequency and intensity of drought have increased significantly, which has greatly affected the growth and production of local potatoes. Therefore, to explore the effects of various degrees of drought stress on the growth and yield of potato in the single-cropping region in northern China, this study was conducted on the basis of years of potato growth and meteorological data to verify the Agricultural Production Systems Simulator (APSIM-Potato) model and evaluate the applicability of the APSIM-Potato model in Wuchuan County, Inner Mongolia, China. The validated model was used to analyze the response of potato leaf area index (LAI), above-ground biomass, and yield to drought scenarios at different developmental stages. (1) The results show that the APSIM-Potato model is superior simulating potatoes growth and yield formation in Wuchuan over time. The root mean square error of the calculated and measured values at each development stage was within 3 days; the normalized root mean square error of the calculated and measured values of LAI, above-ground biomass and yield was less than 20%, and the coefficient of determination (R^2) and consistency index (D index) were both greater than 0.85. It could be demonstrated that the calculation accuracy of the model was relatively high, and the APSIM-Potato model had applicability in the study region. (2) With the increase of drought stress time and intensity, the LAI, above-ground biomass, and yield would decrease. When calculating drought at a single developmental stage, the LAI, above-ground biomass, and yield were the most responsive to water stress in the branch-flowering stage. Compared with CK, the LAI, above-ground biomass, and yield of potato were respectively reduced by 3%–33%, 17%–35%, and 2%–25%; When calculating drought during continuous development, the LAI, above-ground biomass, and yield were the most responsive to water stress during the whole growth period. Compared with CK, the LAI, above-ground biomass and yield were reduced by 10%–57%, 29%–69%, and 55%–75%, and the time for its LAI and above-ground biomass to reach the maximum value also increased by 10–17 d and 13–18 d. The recent study results had laid a theoretical foundation for analyzing the applicability of the APSIM-Potato model in the single-cropping region in northern China and for in-depth study of the impact of drought on potato in the single-cropping region in northern China under the background of climate warming.

Key words: potato; APSIM-Potato model; applicability evaluation; drought simulation; leaf area index (LAI); biomass; yield